

REMARKS

Allowed/allowable claims 1-3, 5, 7, 9, and 13-20 are all the claims presently pending in the application.

Applicant gratefully acknowledges that **claims 1, 2, 15, 16, 17, 18, 19, and 20** are **allowed**, that **claims 3, 5, 9, and 13** would be **allowable** if rewritten to overcome the rejection under 35 U.S.C. § 112, second paragraph, as set forth below, and that **claims 7 and 14** also would be **allowable** if rewritten in independent form and if the rejection under 35 U.S.C. § 112 of base claims 3 and 13 are overcome.

To expedite prosecution, **allowable** claims 3, 5, 9, and 13 have been amended to overcome the rejection under 35 U.S.C. § 112, second paragraph. Therefore, **allowable** claims 3, 5, 7, 9, 13, and 14 should now be **allowed**.

Thus, **all** of the pending claims (i.e., claims 1-3, 5, 7, 9 and 13-20) should now be **allowed**.

No new matter has been added.

It is noted that the claim amendments are made only for more particularly pointing out the invention, and **not** for distinguishing the invention over the prior art, narrowing the claims or for any statutory requirements of patentability. Further, Applicants specifically state that no amendment to any claim herein should be construed as a disclaimer of any interest in or right to an equivalent of any element or feature of the amended claim.

Claims 5, 9, and 13 stand rejected under 35 U.S.C. § 112, second paragraph.

This rejection is respectfully traversed in the following discussion.

I. REJECTION UNDER 35 U.S.C. § 112, SECOND PARAGRAPH

Claims 5, 9, and 13 stand rejected under 35 U.S.C. § 112, second paragraph.

BEST AVAILABLE COPY

To expedite prosecution, Applicants have amended claims 5, 9, and 13 in accordance with the Examiner's suggestion, thereby overcoming this rejection.

Therefore, the Examiner is requested to reconsider and withdraw this rejection.

II. FORMAL MATTERS

Claim Objections

Applicants amend claims 3, 5, and 9 to obviate the objections to these claims, in accordance with the Examiner's suggestions.

Therefore, the Examiner is requested to reconsider and withdraw these objections.

IDS Form PTO 1449

Applicant respectfully notes that the IDS filed on May 6, 2002, properly included a legible copy of "Simplified Decision Feedback Equalizer Using Interpolation" (Sanbe, et al., Technical Report of Institute of Electronics, Information and Communication Engineers (CS91-22 (1991-06) pp. 37-43, as shown by the date-stamped post card indicating that the IDS and four (4) documents were filed on May 6, 2002.

However, for the Examiner's convenience, a duplicate copy of "Simplified Decision Feedback Equalizer Using Interpolation" is submitted herewith.

Applicant also notes that the reference "Simplified Decision Feedback Equalizer Using Interpolation" (see volume number CS-91-17~27, dated June 26, 1991) described in the IDS filed on February 28, 2006, is the same as the reference entitled "Complexity Reduction of RLS-DFE using Interpolation" (see volume number CS-91-22, pp. 37-43, dated June 1991).

Thus, the Examiner has been provided with a legible copy of the cited foreign reference so that the Examiner may review the reference.

Accordingly, the Examiner is requested to consider and initial page 2 of the PTO-1449 Form for the Information Disclosure Statements filed on February 28, 2006 and May 6, 2002.

For the Examiner's convenience, a duplicate copy of the PTO-1449 Forms also are resubmitted herewith in **Appendix A**, together with a duplicate copy of the reference "Simplified Decision Feedback Equalizer Using Interpolation" (see volume number CS-91-17~27, dated June 26, 1991) described in the IDS filed on February 28, 2006, which is the same as the reference entitled "Complexity Reduction of RLS-DFE using Interpolation" (see volume number CS-91-22, pp. 37-43, dated June 1991).

III. CONCLUSION

In view of the foregoing, Applicants submit that allowed/allowable claims 1-3, 5, 7, 9, and 13-20, all the claims presently pending in the application, are patentably distinct over the prior art of record and are in condition for allowance. The Examiner is respectfully requested to pass the above application to issue at the earliest possible time.

Should the Examiner find the application to be other than in condition for allowance, the Examiner is requested to contact the undersigned at the local telephone number listed below to discuss any other changes deemed necessary in a telephonic or personal interview.

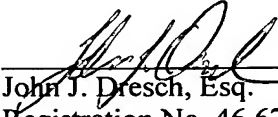
Serial No. 10/026,614
Docket No. KOKUSAI086
(ORI.047)

13

The Commissioner is hereby authorized to charge any deficiency in fees or to credit any overpayment in fees to Attorney's Deposit Account No. 50-0481.

Respectfully Submitted,

Date: July 31, 2006



John J. Dresch, Esq.
Registration No. 46,672

Sean M. McGinn, Esq.
Registration No. 34,386

**MCGINN INTELLECTUAL PROPERTY
LAW GROUP, PLLC**
8321 Old Courthouse Road, Suite 200
Vienna, Virginia 22182-3817
(703) 761-4100
Customer No. 21254

APPENDIX A

For the Examiner's convenience, a duplicate copy of the PTO-1449 Forms are resubmitted herewith, together with a duplicate copy of the reference "Simplified Decision Feedback Equalizer Using Interpolation" (see volume number CS-91-17~27, dated June 26, 1991) described in the IDS filed on February 28, 2006, which is the same as the reference entitled "Complexity Reduction of RLS-DFE using Interpolation" (see volume number CS-91-22, pp. 37-43, dated June 1991).



Attorney's Post Card Filing Receipt

Serial Number: 10 / 026,614Filed On: 02 / 28 / 06Attorney's Docket Number: KOKUSA1086☒ Patent☐ TrademarkApplicant's Name: Masashi Naito, et al.Application Filing Date: 12 / 27 / 01

Papers Filed Herewith:

☒ Amendment ☐ Request for Extension of Time ☐ CPA Request☐ Notice of Appeal ☐ Appeal Brief (in triplicate) ☐ Reply Brief☐ IDS ☐ 1449 Form w/ Documents ☐ Priority Document(s)☐ Assignment ☐ Recordation Cover Sheet ☐ Formal Drawings☐ Drawing Corrections ☐ Issue Fee Transmittal ☐ Missing Parts☒ Other * Copy of date-stamped postcard for IDS filed 5/6/02 and PTO-1449 form for 5/6/02 IDS; Copy of CS91-22 reference.Fees Filed Herewith: \$ N/A ☐ Check ☐ Charge Deposit Account: Hand Delivered

S/N 10/026,614

RE-SUBMITTED COPY

BEST AVAILABLE COPY

ORI. 047

Attorney's Post Card Filing Receipt

JSD:JR

Serial Number: 10 / 026,614Papers Filed On: 02 / 28 / 06Attorney's Docket Number: KOKUSA1086☒ Patent☐ TrademarkApplicant's Name: Masashi Naito, et al.Application Filing Date: 12 / 27 / 01

Papers Filed Herewith:

☒ Amendment ☐ Request for Extension of Time ☐ CPA Request☐ Notice of Appeal ☐ Appeal Brief (in triplicate) ☐ Reply Brief☐ IDS ☐ 1449 Form w/ Documents ☐ Priority Document(s)☐ Assignment ☐ Recordation Cover Sheet ☐ Formal Drawings☐ Drawing Corrections ☐ Issue Fee Transmittal ☐ Missing Parts☒ Other * Copy of date-stamped postcard for IDS filed 5/6/02 and PTO-1449 form for 5/6/02 IDS; Copy of CS91-22 reference.Fees Filed Herewith: \$ N/A ☐ Check ☐ Charge Deposit Account: Hand Delivered



BEST AVAILABLE COPY ^{10/026,614} RE-SUBMITTED COPY

SMITH
CRI 047

Serial Number: 101026,614

Attorney's Post Card Filing Receipt

Papers Filed On: 5/16/02

Attorney's Docket Number: KDHUSA1086

☒ Patent ☐ Trademark

Applicant's Name: Nauta et al.

Application Filing Date: 1/1

Papers Filed Herewith:

- | | | |
|--|---|---|
| <input type="checkbox"/> Amendment | <input type="checkbox"/> Request for Extension of Time | <input type="checkbox"/> CPA Request |
| <input type="checkbox"/> Notice of Appeal | <input type="checkbox"/> Appeal Brief (in triplicate) | <input type="checkbox"/> Reply Brief |
| <input checked="" type="checkbox"/> IDS | <input checked="" type="checkbox"/> 1449 Form w/ / Documents | <input type="checkbox"/> Priority Document(s) |
| <input type="checkbox"/> Assignment | <input type="checkbox"/> Recordation Cover Sheet | <input type="checkbox"/> Formal Drawings |
| <input type="checkbox"/> Drawing Corrections | <input type="checkbox"/> Issue Fee Transmittal | <input type="checkbox"/> Missing Parts |
| <input type="checkbox"/> Other _____ | | |

Fees Filed Herewith: \$ _____ ☐ Check ☐ Charge Deposit Account: _____

SMITH
CRI 047

Serial Number: 101026,614

Attorney's Post Card Filing Receipt

Papers Filed On: 5/16/02

Attorney's Docket Number: KDHUSA1086

☒ Patent ☐ Trademark

Applicant's Name: Nauta et al.

Application Filing Date: 1/1

Papers Filed Herewith:

- | | | |
|--|---|---|
| <input type="checkbox"/> Amendment | <input type="checkbox"/> Request for Extension of Time | <input type="checkbox"/> CPA Request |
| <input type="checkbox"/> Notice of Appeal | <input type="checkbox"/> Appeal Brief (in triplicate) | <input type="checkbox"/> Reply Brief |
| <input checked="" type="checkbox"/> IDS | <input checked="" type="checkbox"/> 1449 Form w/ / Documents | <input type="checkbox"/> Priority Document(s) |
| <input type="checkbox"/> Assignment | <input type="checkbox"/> Recordation Cover Sheet | <input type="checkbox"/> Formal Drawings |
| <input type="checkbox"/> Drawing Corrections | <input type="checkbox"/> Issue Fee Transmittal | <input type="checkbox"/> Missing Parts |
| <input type="checkbox"/> Other _____ | | |

Fees Filed Herewith: \$ _____ ☐ Check ☐ Charge Deposit Account: _____
Hand Delivered

Naito et al.

FILING DATE

December 27, 2001

GROUP	DATE	TIME	LOCATION	REMARKS
1	10/10/19	10:00	101	101
2	10/10/19	10:00	101	101
3	10/10/19	10:00	101	101
4	10/10/19	10:00	101	101
5	10/10/19	10:00	101	101
6	10/10/19	10:00	101	101
7	10/10/19	10:00	101	101
8	10/10/19	10:00	101	101
9	10/10/19	10:00	101	101
10	10/10/19	10:00	101	101
11	10/10/19	10:00	101	101
12	10/10/19	10:00	101	101
13	10/10/19	10:00	101	101
14	10/10/19	10:00	101	101
15	10/10/19	10:00	101	101
16	10/10/19	10:00	101	101
17	10/10/19	10:00	101	101
18	10/10/19	10:00	101	101
19	10/10/19	10:00	101	101
20	10/10/19	10:00	101	101
21	10/10/19	10:00	101	101
22	10/10/19	10:00	101	101
23	10/10/19	10:00	101	101
24	10/10/19	10:00	101	101
25	10/10/19	10:00	101	101
26	10/10/19	10:00	101	101
27	10/10/19	10:00	101	101
28	10/10/19	10:00	101	101
29	10/10/19	10:00	101	101
30	10/10/19	10:00	101	101
31	10/10/19	10:00	101	101
32	10/10/19	10:00	101	101
33	10/10/19	10:00	101	101
34	10/10/19	10:00	101	101
35	10/10/19	10:00	101	101
36	10/10/19	10:00	101	101
37	10/10/19	10:00	101	101
38	10/10/19	10:00	101	101
39	10/10/19	10:00	101	101
40	10/10/19	10:00	101	101
41	10/10/19	10:00	101	101
42	10/10/19	10:00	101	101
43	10/10/19	10:00	101	101
44	10/10/19	10:00	101	101
45	10/10/19	10:00	101	101
46	10/10/19	10:00	101	101
47	10/10/19	10:00	101	101
48	10/10/19	10:00	101	101
49	10/10/19	10:00	101	101
50	10/10/19	10:00	101	101
51	10/10/19	10:00	101	101
52	10/10/19	10:00	101	101
53	10/10/19	10:00	101	101
54	10/10/19	10:00	101	101
55	10/10/19	10:00	101	101
56	10/10/19	10:00	101	101
57	10/10/19	10:00	101	101
58	10/10/19	10:00	101	101
59	10/10/19	10:00	101	101
60	10/10/19	10:00	101	101
61	10/10/19	10:00	101	101
62	10/10/19	10:00	101	101
63	10/10/19	10:00	101	101
64	10/10/19	10:00	101	101
65	10/10/19	10:00	101	101
66	10/10/19	10:00	101	101
67	10/10/19	10:00	101	101
68	10/10/19	10:00	101	101
69	10/10/19	10:00	101	101
70	10/10/19	10:00	101	

2631

U.S. PATENT DOCUMENTS

FOREIGN PATENT DOCUMENTS

OTHER DOCUMENTS (Including Author, Title, Date, Pertinent Pages, Etc.)

"Simplified Decision Feedback Equalizer Using Interpolation", (Sanbe, et al., Technical Report of Institute of Electronics, Information and Communication Engineers (CS91-22 (1991-06) pp. 37-43).

MINER

DATE CONSIDERED

MINER: Initial if reference considered, whether or not citation is in conformance with MPEP 609; Draw line through citation if not in conformance and not considered. Include copy of this form with next communication to applicant.

KE-SUBMITTED

COPY

BEST AVAILABLE COPY

電子情報通信学会技術研究報告

CS 91-17~27

〔通信方式〕

1991年6月26日



EIC 法人 電子情報通信学会

内挿処理による簡略化判定帰還型等化器

Complexity Reduction of RLS-DFE
using Interpolation

三瓶 政一

Seiichi SAMPEI

郵政省 通信総合研究所

Communications Research Laboratory, MPT

1. はじめに

現在陸上移動通信では、デジタル方式自動車電話の実用化研究が盛んに検討されており、1～2年以内にサービスが開始されようとしている。デジタル方式自動車電話では、低ビットレート音声CODECや高効率変調方式など、デジタル方式固有の周波数有効利用技術による音声チャネルの大容量化が可能ならば、ファクシミリや4800bit/s以下の低ビットレートのデータ伝送など、デジタル固有のサービスもサポート可能となる。

一方、固定網では、現在、電話回線のISDN (Integrated Services Digital Network) 化が進められようとしており、西暦2000年頃には、ISDNがかなり普及するものと考えられる。したがって、固定網のISDN化が普及した後は、移動通信においても固定網同様のサービスが求められるようになって考えられる。その場合、将来的には、現在のデジタル方式自動車電話のサービスの他に、64k～1.5Mbit/sまでの幅広いメディアを、柔軟に、かつ経済的にサポートする必要がある。

伝送帯域が数100k～1MHz程度の広帯域TDMA (Time Division Multiple Access) は、4kbit/s程度の音声から1.5Mbit/s程度のデータ伝送まで、経済的かつ柔軟にサポートできる有望な技術である。しかし、陸上移動通信において伝送帯域が数10kHz以上になると、遅延波の影響による周波数選択性フェージングの影響が避けられないため、判定帰還型等化器(DFE: Decision Feedback Equalizer)などの周波数選択性フェージング対策技術の適用が不可欠となる。

DFEは、他の周波数選択性対策技術と比べて比較的小規模な回路で実現可能であることから、近年多くの検討がなされ、伝送速度が100k～300ksymbol/s程度の

場合について、その有効性が確認されている。一方、DFEで補償する遅延波の最大遅延時間 τ_{max} を一定とすると、シンボル伝送速度 R_s が速くなるほど等化器の所要タップ数が増大するため、DFEの演算量が急増し、DFEの実現が困難となる。したがって、今後1.5Mbit/s程度の高速伝送までサポートするためには、DFEの演算量を低減するアルゴリズムの開発が必要となる。

本報告では、TDMAバーストの先頭と後尾に設けたプリアンブル及びポストアンブルにおいてカルマンアルゴリズムを用いて最適タップ利得を求め、これらに挟まれたデータ部においては、トレーニング部で求められたタップ利得の内挿によってタップ利得を求めることにより、等化に要する演算量を大幅に低減できる内挿型簡略化DFEを提案する。また、シンボル伝送速度が512ksymbol/sのQPSK(Quaternary Phase Shift Keying)の場合について、計算機シミュレーションにより、その特性を検討した。

その結果、従来のDFEの1/7程度の演算量で従来方式と同等の等化特性が得られることが確認できた。

2. 判定帰還型等化器の原理と構成

2.1 判定帰還型等化器を含む受信機構成

図1に、DFEを含む受信機構成を示す⁽¹⁾。ここで受信波は、

$$s_R(t) = \text{Re}[\{z(t) \otimes c(t)\} \exp(j2\pi f_c t)] \quad (1)$$

$z(t)$: 送信ベースバンド信号で送信フィルタによるひずみを含む。

$c(t)$: 伝送路のインパルス応答

f_c : 搬送周波数

\otimes : 畳み込み積分

で表される。

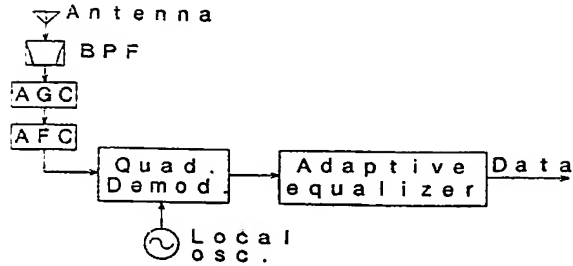


図1 DFEを含む受信機構成

まず、BPF で受信波の帯域外雑音および隣接チャネル干渉を抑圧し、AGC (Automatic Gain Controller) による平均受信レベルの適正化、AFC (Automatic Frequency Controller) によるオフセット周波数 (搬送周波数と準同期検波部の局部発振周波数の差) の低減の後、直交準同期検波を行い、受信ベースバンド信号 $u(t)$ を得る。ここで $u(t)$ は次式で与えられる。

$$u(t) = z_1(t) \otimes c(t) \quad (2)$$

$z_1(t)$: 送信ベースバンド信号で送受信フィルタによるひずみを含む。

その後、適応等化器で $c(t)$ によるひずみを補償し、データを復号する。

2.2 判定帰還型等化器の原理

陸上移動通信は見通し外通信であり、直接波電力が

必ずしも遅延波電力より大きいとは限らない。したがって、DFE は、

1) 直接波の電力 D が遅延波の電力 U より大きい最小位相条件 ($D > U$) と、遅延波の方が直接波より大きい非最小位相条件 ($D < U$) が、交互に、頻繁に交代する伝搬環境で正常に動作する

2) 高速の伝搬路変動へ追従性する

という2つの条件を満足する必要がある。

図2に、DFEの構成図を示す。DFEは、タップ間隔 $T_s/2$ の分数間隔等化器で構成されるフィードフォワード (FF) 部と、タップ間隔 T_s のフィードバック (FB) 部で構成されている。このうち、非最小位相条件下においては、FF部が直接波をキャンセルし、遅延波を残すように動作する。一方、最小位相条件下においては、FB部が遅延波をキャンセルするように動作する。したがって、図2の構成をとることにより、最小位相条件及び非最小位相条件下において、等化器は正常に動作する。また、DFEは、直接波と遅延波のうち、振幅の大きいものを残すように動作するので、ダイバーシチ効果も持つ。

一方、陸上移動伝搬路変動は非常に高速なので、伝搬路変動に追従するためには、忘却係数 λ を導入した RLS (Recursive Least Squares) アルゴリズムが必要となる。RLS アルゴリズム⁽²⁾を用いた等化動作は、DFEのタップ利得の初期化を行う初期引き込み過程と、初期化されたタップ利得を伝搬路変動に応じて更新するトラッキング過程に分けることができる⁽¹⁾。

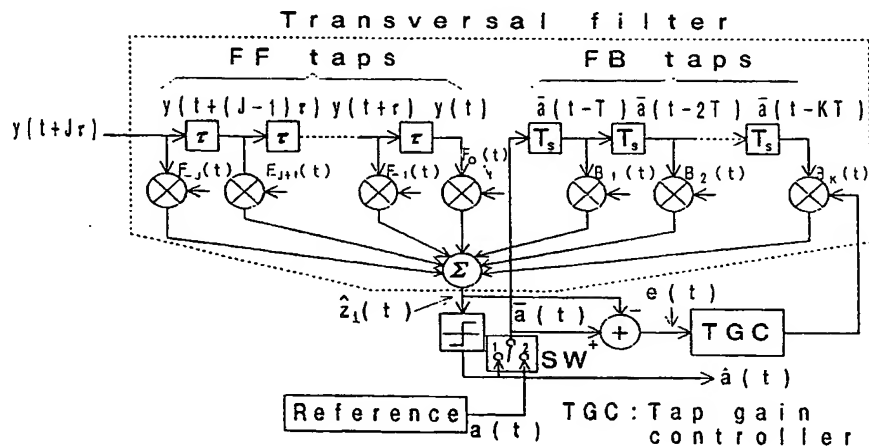


図2 DFEの構成

TDMAフレームの構成を図3に示す。初期化までの過程においては、プリアンブル部における既知のトレーニング系列を参照信号及びFBタップへ入力信号として利用する。これにより、DFEのタップ利得は高速に収束し、ほぼ最適値に設定される。一方、データ部では、等化出力の判定値を参照信号及びFBタップへの入力信号とする。

$t=nT_s$ におけるタップデータベクトル u_n 及びタップ利得ベクトル h_n を

$$u_n = [u(t+J\frac{T_s}{2}), u(t+(J-1)\frac{T_s}{2}), \dots, u(t), \bar{a}(t-T_s), \dots, \bar{a}(t-KT_s)]^T \quad (3a)$$

$$h_n = [F_{-J}(nT_s), F_{-J+1}(nT_s), \dots, F_0(nT_s), B_1(nT_s), \dots, B_K(nT_s)]^T \quad (3b)$$

とすると、 $t=nT_s$ における等化出力 \hat{z}_{in} は、

$$\hat{z}_{in} = \sum_{i=-J}^0 F_i(nT_s) u(nT_s - i\frac{T_s}{2}) + \sum_{i=1}^K B_i(nT_s) \bar{a}(nT_s - iT_s) = h_n^T u_n \quad (4)$$

となる。ここで参照信号 \bar{a}_n としては、トレーニングモードの場合 a_n 、トラッキングモードの場合、等化出力の判定値 \hat{a}_n を用いる。

一方、最適タップ利得 $h_{n,opt}$ は、等化誤差を

$$e_n = \bar{a}_n - \hat{z}_{in} \quad (5)$$

としたとき、

$$E_n = \sum_{i=0}^n \lambda^{n-i} |e_i|^2 \quad (6)$$

が最小となるように決定される。RLS アルゴリズムは、 $h_{n,opt}$ を逐次求めるものであり、そのアルゴリズムは以下の通りである。

$$k_n = P_{n-1} u_n (u_n^T P_{n-1} u_n + \lambda v)^{-1} \quad (7)$$

$$P_n = (P_{n-1} - k_n u_n^T P_{n-1}) / \lambda \quad (8)$$

$$h_n = h_{n-1} + e_n k_n \quad (9)$$

ここで、 u^T は u の転置共役、 k_n はカルマン利得、 P_n は h_n の誤差共分散行列、 v は e_n の分散、 λ は忘却係数 ($0 < \lambda \leq 1$)である。

2.3 DFEの所要タップ数と演算量⁽¹⁾

DFEの所要タップ数は、 τ_{max} で決まる。シンボル

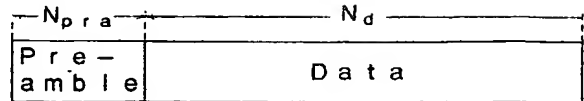


図3 TDMAフレームのバースト構成

表1 R_s と所要タップ数の関係 ($\tau_{max}=10 \mu sec$)

Symbol transmission rate (R_s)	Number of taps in DFE (M)
16ksymbol/s	5
32ksymbol/s	5
64ksymbol/s	5
128ksymbol/s	8
256ksymbol/s	11
512ksymbol/s	20

伝送速度を R_s とすると、FBタップ数 K の最適値は、

$$K = [R_s \tau_{max}]_{raise} \quad (10a)$$

となる。ここで $[a]_{raise}$ は、小数点以下を切り上げることを意味する。一方、FFタップ数 J は、理論的には、 $J \geq 2(1+K)$ の範囲で多いほど良いが、 J が大きくなるほど、伝搬路変動への追従性が劣化する。そこで、通常は、

$$J = 2(1+K) \quad (10b)$$

とする。ここで、 τ_{max} の設定が問題となる。日本における伝搬特性の測定によると、東京都心における遅延分散の90%値は約 $2 \mu sec$ 、甲府のような山岳隣接地域の値は約 $5 \mu sec$ である⁽³⁾。したがって、サービスゾーン内の劣化率を10%とすると、 $\tau_{max}=10 \mu sec$ が適当と考えられる。表1に、 $\tau_{max}=10 \mu sec$ の場合の代表的な R_s におけるタップ数を示す。

一方、RLS アルゴリズムの演算量はDFEの全タップ数 $M(=J+K)$ の2乗に比例する。したがって、シンボル伝送速度 R_s が速くなるほど、演算量は急速に増大する。

ル伝送速度 R_s に対する、1シンボル当りの演算量 N_{mul} の関係を示す。ここで、現在市販されているDSP(Digital Signal Processor)は、乗算、加減算、及びデータの転送を1マシンサイクルで同時に処理することができるので、ここでは N_{mul} を乗算量で見積っている。

$R_s \leq 200 \text{ksymbol/s}$ の場合には、 $N_{mul} < 500$ である。この量は、1情報チャンネル当りの伝送速度を20kbit/s、DSPの処理速度を12MOPSとした場合、1チップのDSPで実現可能な範囲である⁽⁴⁾。一方、 $R_s > 500 \text{ksymbol/s}$ の場合には、6チップ以上のDSPが必要となる。これは、陸上移動通信用無線機としては非現実的な数である。したがって、 R_s を500ksymbol/s以上とするためには、演算量を1/6以下に低減することが不可欠となる。

2.4 演算量低減方式

演算量を低減する方式には、現在のところ、3種類の方式が考えられる。

第1は、RLS アルゴリズムにおける演算の冗長性を除く方式である。この方式の代表的なものに高速Kalman アルゴリズムがある⁽⁵⁾。M=20の分数間隔DFEの場合に高速Kalmanアルゴリズムを適用すると、演算量を約1/2に低減することができる。

第2は、DFE においてタップ数を削減する方式である。この方式の代表的なものにBDE (Bidirectional Equalizer)⁽⁶⁾がある。図5に、BDEのバースト構成を示す。BDE では、まず、受信信号の時系列順に等化を行う(前方等化: Forward equalizing)。このとき、初期引き込みには、バースト先頭のプリアンブルを用いる。次に、時間軸を反転して等化を行う(後方等化: Backward equalizing)。このときの初期引き込みには、バースト後部のポストアンブルを用いる。データは、前方等化と後方等化のうち、等化誤差の小さい方を判定することにより、再生する。BDE を用いると、等化方向を反転することにより、非最小位相条件を最小位相条件とすることができるので、FFタップ数を減らすことができる。所要タップ数が1/L になると、演算量は $2/L^2$ となる。

第3は、タップ更新を間引く方法である。この方法として、Lシンボル毎にタップ更新する間欠更新RLSアルゴリズムが提案されている⁽⁷⁾。これを用いると、演算量は1/Lとなる。

本報告で提案する方式は、第3の方式の範疇のものである。詳細は、次章で示す。

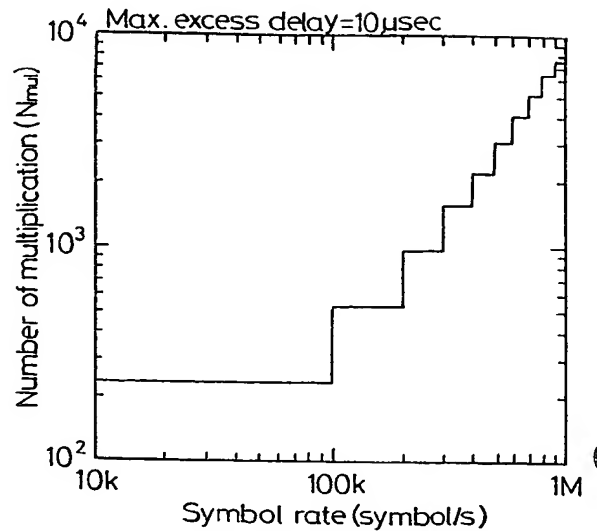


図4 R_s に対するDFEの演算(乗算)量

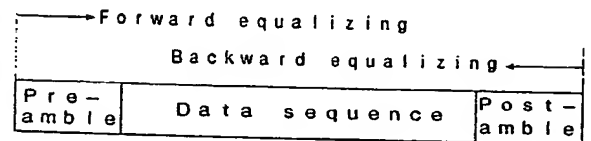


図5 BDEのバースト構成図

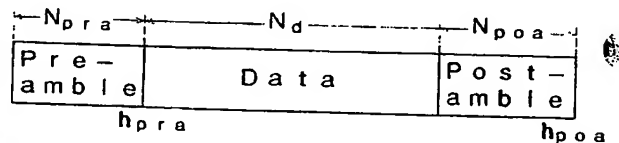


図6 提案方式のバースト構成

3. 提案方式の原理

図6に、提案方式のバースト構成を示す。 τ_{max} は10 μsec 、DFE の所要タップ数は、FFタップ数 $J=14$ ($=2*7$)、FBタップ数が $K=6$ 、計 $M=20$ タップとする。提案方式では、まず、プリアンブル及びポストアンブルにおいて従来のRLS アルゴリズムを用いて最適タップ利得 h_{pra} 及び h_{poa} を求める。一方、1バースト内の情報シンボル数 N_d を一定とすると、伝送速度が速くなる

はと、ハースト内のノージンク変動は緩やかとなる。
そこで、データ部のK番目のシンボルにおけるタップ
利得 $h(k)$ は、次式に示すように、 $h_{p,ra}$ と $h_{p,os}$ を1次内
挿することによって求める。

$$h(k) = \frac{k}{N} h_{p,os} + \frac{N-k}{N} h_{p,ra} \quad (11a)$$

$$N = N_c + N_{p,os} \quad (11b)$$

提案方式を用いた場合の1情報シンボル当りの演算
量(乗算量)は、次式で与えられる。

$$C_{prop} = (N_{p,ra} + N_{p,os} - 2M_1)(7M^2 + 12M)/N_d + 4M \quad (12a)$$

$N_{p,ra}$: プリアンプのシンボル数

$N_{p,os}$: ポストアンプのシンボル数

N_d : 情報シンボル数

M_1 : 等化器内シンボル数 ($=J/2+K$)

ここで、式(12)の右辺第1項は、プリアンプ及びポ
ストアンプにおけるRLSアルゴリズムの演算量をシ
ンボル数で割ったもの、第2項は、内挿のための演算
量である。

一方、従来方式の場合の1情報シンボル当りの演算
量は、

$$C_{conv} = (N_{p,ra} + N_d - M_1)(7M^2 + 12M)/N_d \quad (12b)$$

となる。

4. 計算機シミュレーション結果

4.1 $N_{p,ra}$ と $N_{p,os}$ の最適化

TDMAのフレーム効率をできるだけ高くするためには、
 $N_{p,ra}$ 及び $N_{p,os}$ はできるだけ小さい方がよいが、余り小
さすぎると初期引き込みが不十分となり、特性が劣化
する。そこで、 $N_{p,ra}$ と $N_{p,os}$ の最適化を行った。なお、
最適化は、 $f_d=40\text{Hz}$ 、 $N_d=200$ シンボルで行った。

図7に、 $N_{p,ra}$ に対する誤り率(BER)特性を示す。図
7より、 E_b/N_0 が高いほど、初期引き込みの不完全性
による推定誤差の影響が大きくなるため、 $N_{p,ra}$ の最適
値は大きくなるのがわかる。ここでは、 $\text{BER}=10^{-2} \sim$
 10^{-3} における特性改善を目標とする。その場合、どの
 $N_{p,os}$ の場合も $N_{p,ra} \geq 28$ で同様の特性を示している。し
たがって、 $N_{p,ra}$ の最適値は28とする。

図8に、 $N_{p,ra}=26$ とした場合の $N_{p,os}$ に対するBER特性
を示す。 $N_{p,ra}$ の場合と同様に、 E_b/N_0 が大きいほど、
 $N_{p,os}$ の最適値は大きくなるが、 $\text{BER}=10^{-2} \sim 10^{-3}$ の特性
改善を目標し、 $N_{p,os}$ の最適値を28とする。

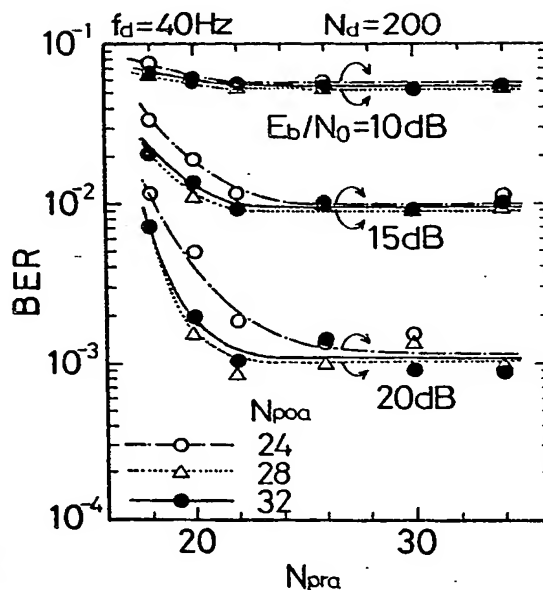


図7 $N_{p,os}$ に対するBER特性

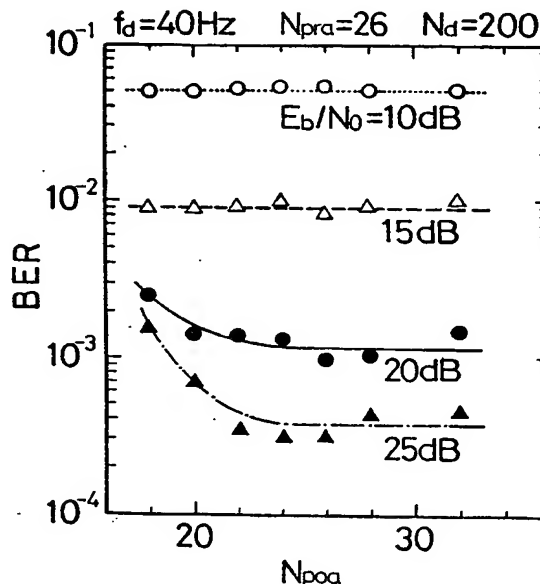


図8 $N_{p,os}$ に対するBER特性

図 9 に、 f_d をパラメータとした場合の BER 特性を示す。

ここで $N_{p,rs}=26$, $N_{p,os}=26$, $N_d=200$, $E_b/N_0=20\text{dB}$ とする。また、同図には、1 バースト内では伝搬路変動は一定であると仮定し、

$$h(k)=h_{p,rs} \quad (13)$$

とする 0 次内挿の場合も示す。

内挿次数が 1 次の場合、 $f_d \leq 150\text{Hz}$ において、誤り率特性は殆ど一定となっている。一方、内挿次数が 0 次の場合、 $f_d=40\text{Hz}$ 以上で急速に BER 特性が劣化している。これは、1 バースト長 (0.44msec) の区間では伝搬路変動は一定ではないが、ほぼ直線的に変動していることを示している。また、1 次の内挿方式は、このようなフェージング変動の補償に有効であることを示している。また、 $N_{p,rs}=N_{p,os}=26$, $N_d=200$, $J=14$, $K=6$ の場合、従来方式の 1 情報シンボル当りの演算量は 3238 回なのに対して、提案方式は 475 回であり、提案方式を用いると演算量を約 1/7 に低減できる。

図 10 に、提案方式の E_b/N_0 に対する BER 特性を示す。また、同図に、従来方式を用いた場合の特性も示す。

図 10 より、 $f_d \leq 150\text{Hz}$ における提案方式の特性は、ほとんど同じであり、周波数選択性フェージングを良好に補償していることがわかる。これより、車速として時速 100km/h 程度までを考える場合、搬送周波数が 1.5GHz 程度以下であれば、提案方式が適用可能であることを示している。

また、提案方式は、 $\text{BER} > 10^{-3}$ の範囲で、従来方式とほぼ同様の特性が得られることを示している。一方、 $\text{BER} < 10^{-4}$ では、従来方式より特性が劣化する。しかし、提案方式の演算量は、従来方式の 1/7 と大幅に演算量が低減できることを考慮すると、この程度の劣化は許容できると考えられる。

4.3 遅延時間に対する BER 特性

以上においては、等化器の基本動作の確認のため、遅延時間が T_s の 2 波モデルで検討を行ってきた。そこで、さらに、どの程度の遅延波まで等化可能であることを確認するため、遅延時間をパラメータとして BER 特性を検討した。

図 11 に、伝送速度 512ksymbol/s, $f_d=150\text{Hz}$ において遅延時間をパラメータとした場合の BER 特性を示す。なお、タップ数は、FF タップが 14, FB タップは 6 である。

図 11 より、遅延時間が $3T_s$ 以下であれば、ほとんど等化特性に差がないのに対して、遅延時間が $4T_s$ 以

上になると、遅延時間が大きくなるにつれて、非最小位相条件において先行波を抑制するために使用される FF タップ数が少なくなるためである⁽¹⁾。

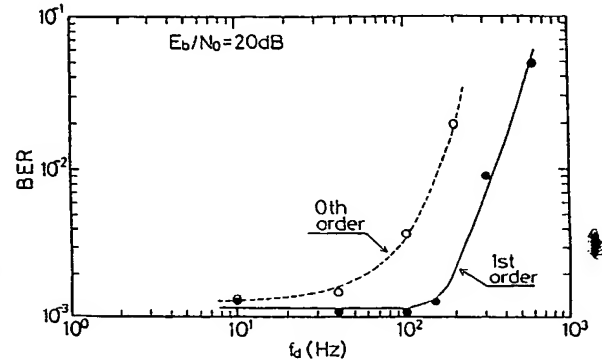


図 9 f_d に対する BER 特性

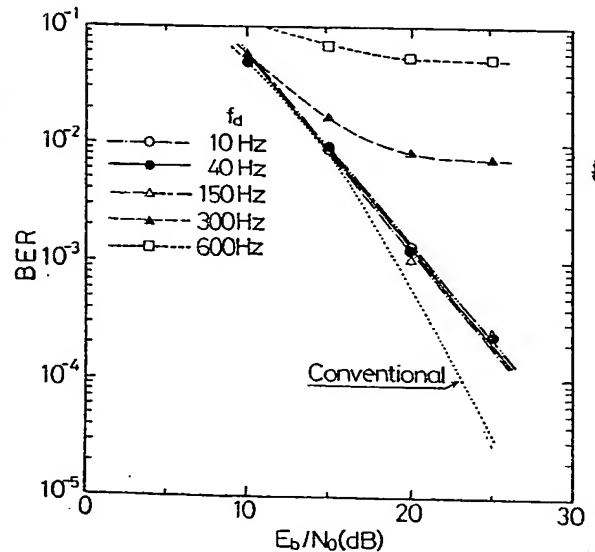


図 10 E_b/N_0 に対する BER 特性

3. まとめ

500ksymbol/s以上の高速伝送を実現するためには、適応等化技術に要する演算量を大幅に低減する必要があることから、内挿型簡略化判定帰還型等化器を提案し、計算機シミュレーションによってその特性を評価した。その結果、以下の結論を得た。

- 1) プリアンプル及びポストアンプルの最適値は、共に26シンボルである。
- 2) 伝搬路変動は、0.44msecという短い時間においては、一定ではないが直線的に変動している。
- 3) パースト長を0.44msecとした場合、 $f_d=150\text{Hz}$ まで提案方式で十分周波数選択性フェージングを補償できる。
- 4) 提案方式の演算量は、従来方式の約1/7である。
- 5) 提案方式の特性は、 $\text{BER} > 10^{-3}$ の範囲では、従来方式とほぼ同じ特性である。一方、 $\text{BER} < 10^{-4}$ の範囲では、従来方式より若干特性が劣化する。
- 6) タップ数が20の分数間隔DFEの場合、遅延時間が $3T_s$ 以下であれば、BER特性は殆ど同じとなる。一方、遅延時間が $4T_s$ 以上では、遅延時間が長くなるにつれてBER特性が劣化する。

今後、さらに複雑な伝搬環境への適用、他の演算量低減方式との複合効果、16QAMへの適用などを検討する必要がある。

謝 辞

本検討に当たり、御指導御討論頂いた手代木通信技術部長、笹岡室長をはじめとする通信方式研究室各位に感謝します。

参考文献

- (1) 中嶋, 三瓶: "判定帰還型等化器による陸上移動通信の周波数選択性フェージング補償特性", 信学論B-II, J72-B-II, 10, pp.515-523, 1989年10月。
- (2) D.Godard: "Channel equalization using Kalman

filter for fast data transmission", Ion J.

Res. Develop., 18, pp.267-273, May 1974.

- (3) 田中, 明山, 小園: "移動通信における市街地の多重伝搬遅延特性", 信学論B-II, J73-B-II, 11, pp.772-778, 1990年11月。
- (4) 上田, 鈴木: "移動通信用RLS等化器のDSPを用いた構成法と特性", 1989年信学秋季全大, B-515, 1989年9月。
- (5) D.D.Falconer, L.Ljung: "Application of fast Kalman estimation to adaptive equalization", IEEE Trans. Commun. COM-26, 10, Oct. 1978.
- (6) 東, 鈴木: "RLS アルゴリズムを用いた移動通信用等化器の選択性フェージング条件におけるBER特性", 信学技報RCS89-25, 1989年10月。
- (7) 村上, 上田, 他: "カルマン形適応等化器の設計と周波数選択性フェージング下での特性", 信学論B-II, J73-B-II, 11, pp.708-717, 1990年11月。

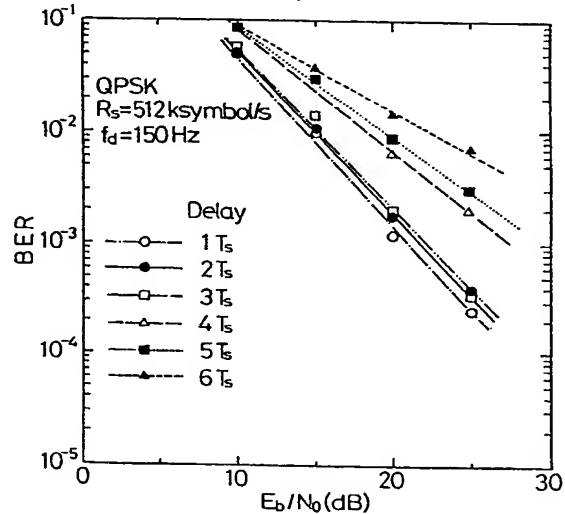


図 1.1 遅延時間をパラメータとした場合のBER特性

BEST AVAILABLE COPY

電子情報通信学会技術研究報告

信学技報 Vol.91 No.111

1991年6月26日 発行

IEICE Technical Report

©電子情報通信学会 1991

Copyright : © 1991 by the Institute of Electronics, Information and Communication Engineers (IEICE)

発行人 東京都港区芝公園3丁目5番8号 機械振興会館内

社団法人 電子情報通信学会 事務局長 松木 昭

発行所 東京都港区芝公園3丁目5番8号

社団法人 電子情報通信学会 電話 (03) 3433-6691
郵便振替口座 東京2-35300番

The Institute of Electronics, Information and Communication Engineers,
Kikai-Shinko-Kaikan Bldg., 5-8, Shibakoen 3 chome, Minato-ku,
TOKYO, 105 JAPAN

本技術研究報告に掲載された論文の著作権は(社)電子情報通信学会に帰属します。

Copyright and reproduction permission: All rights are reserved and no part of this publication may be reproduced or transmitted in any form or by any means, electronic or mechanical, including photocopy, recording, or any information storage and retrieval system, without permission in writing from the publisher. Notwithstanding, instructors are permitted to photocopy isolated articles for noncommercial classroom use without fee.

**This Page is Inserted by IFW Indexing and Scanning
Operations and is not part of the Official Record**

BEST AVAILABLE IMAGES

Defective images within this document are accurate representations of the original documents submitted by the applicant.

Defects in the images include but are not limited to the items checked:

- ☒ BLACK BORDERS
- ☒ IMAGE CUT OFF AT TOP, BOTTOM OR SIDES
- ☒ FADED TEXT OR DRAWING
- ☒ BLURRED OR ILLEGIBLE TEXT OR DRAWING
- ☒ SKEWED/SLANTED IMAGES
- ☐ COLOR OR BLACK AND WHITE PHOTOGRAPHS
- ☐ GRAY SCALE DOCUMENTS
- ☒ LINES OR MARKS ON ORIGINAL DOCUMENT
- ☐ REFERENCE(S) OR EXHIBIT(S) SUBMITTED ARE POOR QUALITY
- ☐ OTHER: _____

IMAGES ARE BEST AVAILABLE COPY.

As rescanning these documents will not correct the image problems checked, please do not report these problems to the IFW Image Problem Mailbox.